

## ФОТОПРОВОДИМОСТЬ ЛЕГИРОВАННЫХ КРИСТАЛЛОВ $\text{Bi}_{12}\text{SiO}_{20}$

© Т.В.Панченко, З.З.Янчук\*

Днепропетровский государственный университет,  
320625 Днепропетровск, Украина

\*Киевский государственный университет,  
252000 Киев, Украина

(Поступила в Редакцию 16 января 1996 г.

В окончательной редакции 3 июня 1996 г.)

Исследованы характеристики фотопроводимости кристаллов  $\text{Bi}_{12}\text{SiO}_{20}$ , легированных ионами Ga, Cr, Mn, Zn, Cd.

Фотопроводимость легированных кристаллов  $\text{Bi}_{12}\text{MO}_{20}$  (ВМО), где M = Si, Ge, Ti, мало изучена. В общих чертах влияние ряда примесных ионов (Ga, Al, Ca, Mn, Cr и Ni) на ее спектральное распределение сводится к уменьшению фотооклика в диапазоне энергий фотона  $h\nu = 1\text{--}2.9\text{ eV}$  [1–10], и только для ионов Sn наблюдался рост фоточувствительности в сине-зеленой области спектра [11,12].

При исследовании кинетики фотопроводимости наблюдалось уменьшение времени релаксации в кристаллах ВМО с Al [1]. Рост фоточувствительности при легировании Sn связывается с изменением темпа рекомбинации [11,12]. В [8,13] наблюдались эффекты термической активации (ТАФ) и гашения (ТГФ) фотопроводимости в кристаллах ВМО, содержащих Ga, Ca, Al, Zn и Cd. Это указывает на сложный механизм транспорта photoносителей с участием центров быстрой и медленной рекомбинации.

В данной работе приведены результаты дальнейшего исследования спектральных и температурных зависимостей фотопроводимости кристаллов  $\text{Bi}_{12}\text{SiO}_{20}$  (BSO), выращенных методом Чохральского и легированных ионами Ga, Cr, Mn, Cu и V. Образцы приготавливались в виде полированных пластин, на поверхности (001) которых наносились Ag-электроды, вожженные в вакууме при  $T = 780\text{ K}$ . Зазор между электродами составлял 0.7–1.0 mm. Использовался монохроматор SDM-2 с разрешающей способностью не менее 0.02 eV. Свет модулировался с частотой 12 Hz. Зависимости фотопроводимости  $\Delta\sigma^{\text{ph}}(h\nu)$  нормировались относительно аппаратной функции спектрального распределения потока фотонов  $N(h\nu)$ . Температурные зависимости  $I^{\text{ph}}(T)$  получены в области возбуждения собственной фотопроводимости при нагревании образцов в интервале температур  $T = 84\text{--}400\text{ K}$  со скоростью  $0.02\text{ K} \cdot \text{s}^{-1}$ . Измерения проводились в режиме постоянного электрического поля с использованием синхронного детектирования [14].

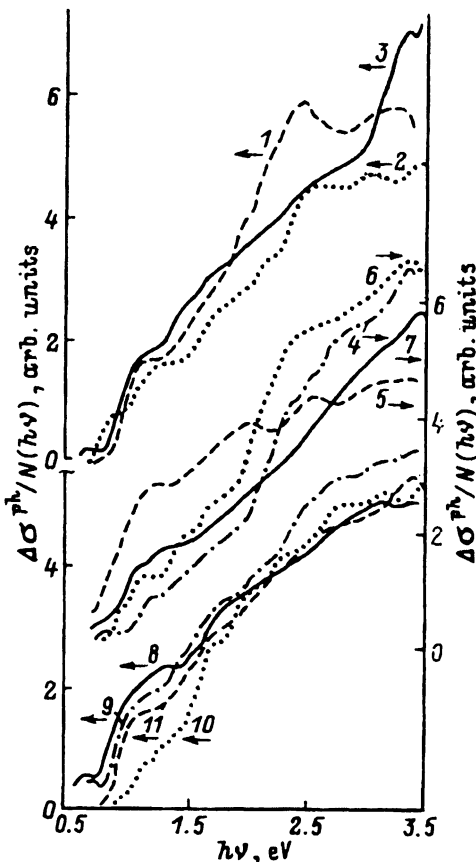


Рис. 1. Спектральные зависимости фотопроводимости  $\Delta\sigma^{\text{ph}}/N(h\nu)$  кристаллов BSO (1, 2), BSO : Ga (3), BSO : Mn (4, 7), BSO : V (5, 6), BSO : Cr (8, 9), BSO : Cu (10, 11) при  $T_1 = 290 \text{ K}$  (1, 3, 4, 6, 9, 11) и  $T_2 = 84 \text{ K}$  (2, 5, 7, 8, 10).

Полученные результаты показывают, что легирование не приводит к появлению новых полос фоточувствительности, однако обуславливает модуляцию спектров  $\Delta\sigma^{\text{ph}}(h\nu)$  номинально чистых кристаллов BSO, которая зависит от вида и концентрации примеси. Можно выделить пять полос примесного фотоотклика в диапазонах  $h\nu < 0.9 \text{ eV}$ ,  $0.9-1.4 \text{ eV}$ ,  $1.4-2.0 \text{ eV}$ ,  $2.0-2.6 \text{ eV}$  и  $2.7-3.5 \text{ eV}$ .  $E$ -полоса примыкает к полосе возбуждения собственной фотопроводимости BSO. Легирование всеми рассмотренными ионами приводит к смещению максимума  $E$ -полосы в область больших значений  $h\nu$  (рис. 1).

При  $T = 290 \text{ K}$  фотопроводимость легированных кристаллов в  $B$ -,  $C$ - и  $D$ -полосах ниже, чем в нелегированных, в  $A$ -полосе интенсивность фотоотклика возрастает за счет ионов Cr, Mn и Ga, в  $E$ -полосе рост фоточувствительности обусловливают ионы Ga, Mn и V. Понижение температуры до  $84 \text{ K}$  приводит к значительной трансформации зависимостей  $\Delta\sigma^{\text{ph}}(h\nu)$ . Для кристаллов BSO, легированных Cr, Mn и V, фотоотклик увеличивается в области  $h\nu < h\nu' = 1.4-2.1 \text{ eV}$  и растет в области  $h\nu > h\nu'$ . Для кристаллов BSO : Cu в области  $h\nu < h\nu'$  он уменьшается, а для  $h\nu > h\nu'$  он больше, чем при  $T = 290 \text{ K}$  (рис. 1).

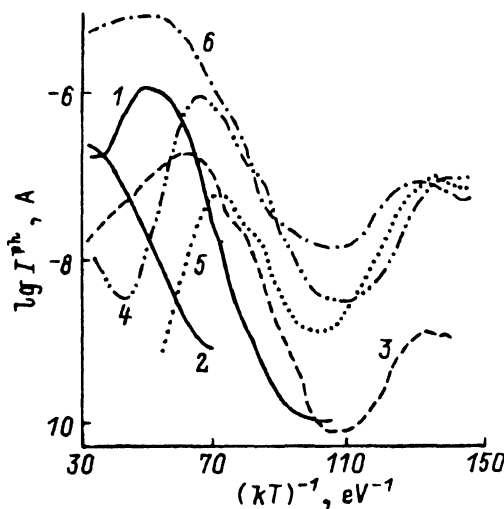


Рис. 2. Температурные зависимости фототока  $I^{\text{ph}}(T)$  в области возбуждения собственной фотопроводимости ( $\hbar\nu = 3.4 \text{ eV}$ ) кристаллов BSO (1), BSO:Ga (2), BSO:Mn (3), BSO:Cr (4), BSO:Cu (5) и BSO:V (6) при относительном уровне освещенности  $L/L_0 = 0.5$  (1),  $0.4$  (3, 4) и  $0.6$  (2, 5, 6), где  $L_0$  — максимальный уровень освещенности.

Зависимости  $I^{\text{ph}}(T)$  демонстрируют наличие эффектов ТАФ и ТГФ (рис. 2). В номинально чистых кристаллах BSO эти эффекты в отличие от данных [8, 13] наблюдаются при более высоких температурах  $T_1 = 140\text{--}400 \text{ K}$  с  $T_{\max} = 260\text{--}265 \text{ K}$ . Легирование ионами Cr, Mn и Cu приводит к смещению  $T_{\max}$  в область низких, а ионами V — в область более высоких температур. Аналогичное влияние ионов V отмечено в [8]. Кроме того, эффект ТГФ и, вероятно, ТАФ наблюдается в отличие от [8] еще в одном низкотемпературном интервале с  $T_2 < 150 \text{ K}$ . В кристаллах BSO:Ga мы наблюдали только ТАФ при  $T_3 > 230 \text{ K}$ , ТАФ при  $T > T_3$  наблюдается также в кристаллах BSO:Cr (рис. 2). Кратности активации  $K_1 = I_{\max}/I_0$  и гашения  $K_2 = I_0/I_{\max}$  (где  $I_0$ ,  $I_{\max}$  — значения фототока, соответствующие началу и окончанию процесса ТАФ и ТГФ) зависят от вида примеси и температурного интервала (табл. 1).

Зависимости  $I^{\text{ph}}(T)$  можно объяснить в рамках многоуровневой модели рекомбинации для широкозонного полупроводника  $n$ -типа [15], где фотопроводимость контролируется  $s$ -центрами быстрой и  $t$ -центрами медленной рекомбинации, отличающимися сечениями захвата электронов ( $C_{nr}/C_{ns} \ll 10^{-3}$ ) и энергетическим положением в запрещенной зоне ( $t$ -центры ближе, чем  $s$ -центры, к потолку валентной зоны  $E_v$ ). Учитывается также прилипание неравновесных носителей на  $t$ -уровни вблизи дна зоны проводимости  $E_c$ . Наличие двух температурных интервалов ТАФ и ТГФ указывает на существование  $t$ - и  $t$ -уровней с различной фотоэлектрической активностью. По мере повышения температуры вероятность выброса электронов с  $t$ -уровней может превысить вероятность их захвата, это ведет к переходу электронов на  $t$ -уровни, т. е. к уменьшению их заполнения дырками, а следовательно, к увеличению времени жизни photoносителей  $\tau_n$  и к активации фототока. Характерным признаком активации является наблюдаемый нами экс-

Таблица 1

Влияние легирования на кратность процессов термической активации и гашения собственной фотопроводимости в кристаллах BSO

Кристалл	$\Delta T_1$		$\Delta T_2$	$\Delta T_3$
	$K_1$	$K_2$	$K_2$	$K_1$
BSO	$4.3 \cdot 10^3$	12	—	—
BSO : Mn	$3.5 \cdot 10^2$	13	12	—
BSO : Cr	$2.6 \cdot 10^2$	$2.2 \cdot 10^2$	16	—
BSO : Cu	$2.1 \cdot 10^2$	17	$2 \cdot 10^2$	—
BSO : V	—	$9 \cdot 10^2$	9	—
BSO : Ga	—	—	—	$7 \cdot 10^2$

Таблица 2

Параметры  $t$ -уровней прилипания и  $r$ -уровней медленной рекомбинации в чистых и легированных кристаллах BSO

Кристалл	$\Delta T_1$					$\Delta T_2$			$\Delta T_3$	
	$E_{tc1}^T$ , eV	$N_{tc1}$ , $\text{cm}^{-3}$	$E_{tc2}^T$ , eV	$N_{tc2}$ , $\text{cm}^{-3}$	$E_{rv1}^T$ , eV	$E_{rv1}^O$ , eV	$E_{rv2}^T$ , eV	$E_{rv2}^O$ , eV	$E_{rv2}^T$ , eV	$N_{tc2}$ , $\text{cm}^{-3}$
BSO	0.32	$3.9 \cdot 10^{14}$	0.17	$2.7 \cdot 10^{17}$	0.47	2.86	—	—	—	—
BSO : Mn	0.21	$2.9 \cdot 10^{16}$	0.15	$4.5 \cdot 10^{16}$	0.08	3.25	0.15	3.18	—	—
BSO : Cr	0.18	$4.4 \cdot 10^{16}$	0.12	$8.9 \cdot 10^{17}$	0.34	2.99	0.12	3.21	0.13	$1.5 \cdot 10^{18}$
BSO : Cu	0.22	$3.2 \cdot 10^{15}$	0.09	$3 \cdot 10^{18}$	0.41	2.92	0.14	3.19	—	—
BSO : V	0.21	$5 \cdot 10^{16}$	—	—	—	—	0.1	3.23	—	—
BSO : Ga	—	—	—	—	—	—	—	—	0.17	$4.1 \cdot 10^{18}$

экспоненциальный рост фототока с температурой:  $I_i^{\text{ph}} = A \exp(-E_{tci}^T/2kT)$ , где  $E_{tci}^T$  — энергия термической активации электронов с  $t$ -уровней относительно  $E_c$ ,  $A = \text{const}$ . Концентрация  $t$ -уровней для  $i$ -го вида примесей определялась из соотношения  $N_{tci} = N_c \exp(-E_{tci}^T/kT_{i\max})$ , где  $N_c = 10^{17}T^{3/2}$  — эффективная плотность состояний в зоне проводимости BSO согласно [16] (табл. 2).

Дальнейшее увеличение температуры способствует перезарядке  $t$ - и  $s$ -центров, поскольку возрастает вероятность термических переходов электронов из валентной зоны. Это приводит к перераспределению рекомбинационных потоков с  $t$ - на  $s$ -центры, что сопровождается уменьшением  $\tau_n$  и гашением фототока.

В области ТГФ для кристаллов BSO с Cr, Mn и Cu зависимости  $I^{\text{ph}}(T)$  близки к экспоненциальному, что соответствует бимолекулярному механизму рекомбинации. В этом случае энергия термической ионизации  $r$ -центров  $i$ -го типа  $E_{rvi}^T$  (относительно потолка валентной зоны  $E_v$ ) определяется из соотношения  $I^{\text{ph}} = B \exp(E_{rvi}^T/2kT)$ , где  $B = \text{const}$ . Для нелегированных кристаллов BSO значения  $E_{rvi}^T$  были

определенены методом «точек перегиба» зависимостей  $I^{\text{ph}}(T)$  (случай мономолекулярной рекомбинации [15]). Используя значение ширины запрещенной зоны кристаллов BSO  $\Delta E_g = 3.33 \text{ eV}$  ( $T = 290 \text{ K}$ ), мы определили энергию оптической ионизации  $r$ -центров относительно  $E_c$  как  $E_{rci}^O = \Delta E_g - E_{rvi}^T$  (табл. 2). Для BSO полученные значения  $E_{rvi}^T$  и  $E_{rci}^O$  близки к найденным в [8].

Предполагая, что примесная фотопроводимость BSO, возбуждаемая в диапазоне 2–3.3 eV, так же как и собственная, характеризуется эффектами ТАФ и ТГФ, легко связать уменьшение фотоотклика в этом диапазоне при понижении температуры с зависимостями  $I^{\text{ph}}(T)$ , в то время как примесная фотопроводимость, возбуждаемая с более мелких уровней, определяется степенью их заполнения и растет с понижением температуры.

### Список литературы

- [1] S.L. Hou, R.B. Lauer, R.E. Aldrich. *J. Appl. Phys.* **44**, 6, 2652 (1973).
- [2] А.Т. Анистратов, А.В. Воробьев, Ю.Н. Грехов, Н.Г. Малышевский. *ФТТ* **22**, 6, 1865 (1980).
- [3] Ю.Л. Копылов, В.Б. Кравченко, В.В. Куча. *Микроэлектроника* **11**, 5, 477 (1982).
- [4] М.Г. Ермаков, А.В. Хомич, П.И. Перов, И.А. Горн, В.В. Куча. *Микроэлектроника* **11**, 5, 424 (1982).
- [5] Т.В. Панченко, А.Ю. Кудзин, В.Х. Костюк. *Изв. АН СССР. Неорган. материалы* **19**, 7, 1144 (1983).
- [6] V.II. Berezkin, A.I. Grachev. *Phys. Stat. Sol. (a)* **82**, K95 (1984).
- [7] В.А. Гусев, С.И. Деменко, В.А. Детиненко, В.К. Малиновский. *Автометрия*, 1, 108 (1984).
- [8] И.А. Карпович, Е.Е. Колосов, Е.И. Леонов, В.М. Орлов, М.В. Шилова. *Изв. АН СССР. Неорган. материалы* **21**, 6, 965 (1985).
- [9] И.С. Захаров, П.А. Петухов, В.М. Скориков, М.Г. Кистенева, Ю.Ф. Каргин. *Изв. вузов МВ и ССО СССР. Физика*, 6, 85 (1985).
- [10] М.В. Шилова, В.М. Орлов, Е.И. Леонов, Е.Е. Колосов, И.А. Карпович. *Изв. АН СССР. Неорган. материалы* **22**, 1, 103 (1986).
- [11] О.А. Гудаев, В.А. Гусев, Э.Э. Пауль. *ФТТ* **28**, 4, 1110 (1986).
- [12] B.C. Grabmaier, R. Oberschmid. *Phys. Stat. Sol. (a)* **96**, 199 (1986).
- [13] И.С. Захаров. *ФТТ* **27**, 4, 1062 (1985).
- [14] С.М. Рывкин. *Фотоэлектрические явления в полупроводниках*. М. (1963). 494 с.
- [15] В.Е. Лашкарев, А.В. Любченко, М.К. Шейкман. *Неравновесные процессы в полупроводниках*. Наукова думка. Киев. (1981). 264 с.
- [16] R.B. Lauer. *J. Appl. Phys.* **45**, 4, 1794 (1974).